

# El Efecto Casimir y Fotones Ocultos

**Christian F. Díaz Bahamondes**

Estudiante de Magíster – Instituto de Física -PUC Chile

Comisión examinadora

**Supervisor: Dr. Benjamin Koch (PUC)**

**Co-Supervisora: Dra. Paola Arías (USACH)**

**Comité Examinador: Dr. Marcelo Loewe (PUC)**

14 de Junio, 2016

# Contenidos

- 1 Introducción
- 2 El efecto Casimir con fotones ocultos
- 3 Resultados
- 4 Conclusiones y trabajo futuro

# Motivación

- Modelo Estándar exitoso. Sin embargo, hay ciertas preguntas que aún no puede responder
  - 1 violación de paridad y conjugación de carga,
  - 2 oscilación de neutrinos,
  - 3 naturaleza de la materia oscura, etc.

# Motivación

- Buscamos más allá del Modelo Estándar alguna respuesta



**Figura:** Mapa de la física más allá del Modelo Estándar (Imagen tomada de © [www.form-one.de](http://www.form-one.de)).



# Motivación

- Buscamos más allá del Modelo Estándar alguna respuesta

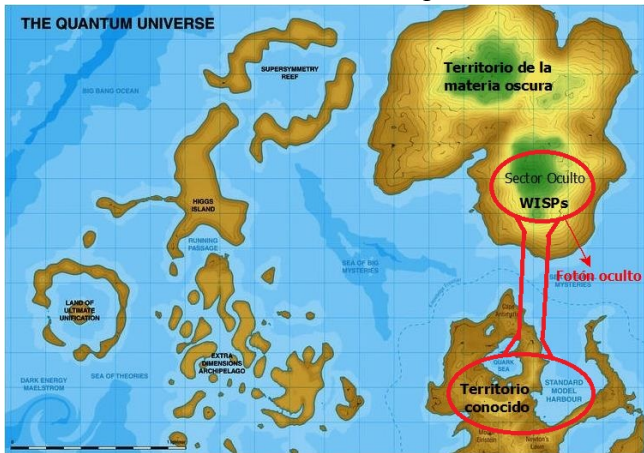


Figura: Mapa esquemático del sector oculto.

# Fotones Ocultos

- El Lagrangiano que describe la mezcla entre fotón usual y fotón oculto es (B.Holdom, *Phy.Rev.Lett*,1986 - J.Jaeckel, *Phys.Rev.Lett.*,2009)

$$\mathcal{L} = -\frac{1}{4}F_{\mu\nu}F^{\mu\nu} - \frac{1}{4}G_{\mu\nu}G^{\mu\nu} + \frac{\sin\chi}{2}F_{\mu\nu}G^{\mu\nu} + \frac{m_\gamma^2 \cos^2\chi}{2}X_\mu X^\mu - eJ_\mu A^\mu, \quad (1)$$

# Fotones Ocultos

- El Lagrangiano que describe la mezcla entre fotón usual y fotón oculto es (B.Holdom, *Phy.Rev.Lett*,1986 - J.Jaeckel, *Phys.Rev.Lett.*,2009)

$$\mathcal{L} = -\frac{1}{4}F_{\mu\nu}F^{\mu\nu} - \frac{1}{4}G_{\mu\nu}G^{\mu\nu} + \frac{\sin\chi}{2}F_{\mu\nu}G^{\mu\nu} + \frac{m_\gamma^2 \cos^2\chi}{2}X_\mu X^\mu - eJ_\mu A^\mu, \quad (1)$$

- donde  $A_\mu$  es el campo del fotón usual y  $X_\mu$  es el campo oculto.
- El fotón oculto interactúa con el sector visible mediante un término cinético.



# Fotones Ocultos

- El Lagrangiano que describe la mezcla entre fotón usual y fotón oculto es (B.Holdom, *Phy.Rev.Lett*,1986 - J.Jaeckel, *Phys.Rev.Lett.*,2009)

$$\mathcal{L} = -\frac{1}{4}F_{\mu\nu}F^{\mu\nu} - \frac{1}{4}G_{\mu\nu}G^{\mu\nu} + \frac{\sin\chi}{2}F_{\mu\nu}G^{\mu\nu} + \frac{m_\gamma^2 \cos^2\chi}{2}X_\mu X^\mu - eJ_\mu A^\mu, \quad (1)$$

- donde  $A_\mu$  es el campo del fotón usual y  $X_\mu$  es el campo oculto.
- El fotón oculto interactúa con el sector visible mediante un término cinético.
- Se redefinen los campos como:
  - $A_\mu \rightarrow \tilde{A}_\mu + \tan\chi\tilde{X}_\mu$
  - $X_\mu \rightarrow \tilde{X}_\mu + \tan\chi\tilde{A}_\mu$

# Fotones Ocultos

- Si se utiliza la redefinición de  $A_\mu \rightarrow \tilde{A}_\mu + \tan \chi \tilde{X}_\mu$  se obtiene la representación de propagación

$$\tilde{\mathcal{L}} = -\frac{1}{4} \tilde{F}_{\mu\nu} \tilde{F}^{\mu\nu} - \frac{1}{4} \tilde{G}_{\mu\nu} \tilde{G}^{\mu\nu} + \frac{m_\gamma^2}{2} \tilde{X}_\mu \tilde{X}^\mu - e J_\mu (\tilde{A}^\mu + \tan \chi \tilde{X}^\mu). \quad (2)$$

# Fotones Ocultos

- Si se utiliza la redefinición de  $A_\mu \rightarrow \tilde{A}_\mu + \tan \chi \tilde{X}_\mu$  se obtiene la representación de propagación

$$\tilde{\mathcal{L}} = -\frac{1}{4}\tilde{F}_{\mu\nu}\tilde{F}^{\mu\nu} - \frac{1}{4}\tilde{G}_{\mu\nu}\tilde{G}^{\mu\nu} + \frac{m_\gamma^2}{2}\tilde{X}_\mu\tilde{X}^\mu - eJ_\mu(\tilde{A}^\mu + \tan \chi \tilde{X}^\mu). \quad (2)$$

- Donde ambos campos están acoplados a la corriente.

# Fotones Ocultos

- Si se utiliza la redefinición de  $A_\mu \rightarrow \tilde{A}_\mu + \tan \chi \tilde{X}_\mu$  se obtiene la representación de propagación

$$\tilde{\mathcal{L}} = -\frac{1}{4} \tilde{F}_{\mu\nu} \tilde{F}^{\mu\nu} - \frac{1}{4} \tilde{G}_{\mu\nu} \tilde{G}^{\mu\nu} + \frac{m_\gamma^2}{2} \tilde{X}_\mu \tilde{X}^\mu - e J_\mu (\tilde{A}^\mu + \tan \chi \tilde{X}^\mu). \quad (2)$$

- Donde ambos campos están acoplados a la corriente.
- Si se elige la redefinición  $X_\mu \rightarrow \bar{X}_\mu + \tan \chi \bar{A}_\mu$  se obtiene la representación de interacción

$$\begin{aligned} \bar{\mathcal{L}} = & -\frac{1}{4} \bar{F}_{\mu\nu} \bar{F}^{\mu\nu} - \frac{1}{4} \bar{G}_{\mu\nu} \bar{G}^{\mu\nu} \\ & + \frac{m_\gamma^2}{2} (\cos^2 \chi \bar{X}_\mu \bar{X}^\mu - 2 \sin \chi \cos \chi \bar{A}_\mu \bar{X}^\mu + \sin^2 \chi \bar{A}_\mu \bar{A}^\mu) \\ & - e J_\mu \bar{A}^\mu \end{aligned} \quad (3)$$

Un solo campo esta acoplado con la corriente.

- Varios experimentos están en la búsqueda de acotar los parámetros que involucran al fotón oculto.

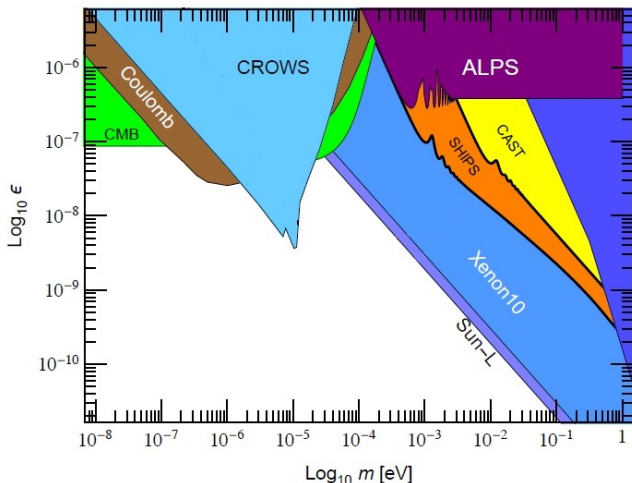


Figura: Gráfico de exclusión en el espacio de parámetros.

# Efecto Casimir

- El siempre interesante efecto Casimir.

# Efecto Casimir

- El siempre interesante efecto Casimir.
- En Lagrangiano que representa la electrodinámica es

$$\mathcal{L}_{EM} = -\frac{1}{4}F_{\mu\nu}F^{\mu\nu} - eJ^\mu A_\mu \quad (4)$$

Si el fotón **no posee masa**  $\Rightarrow$  dos polarizaciones.

- La energía del estado fundamental es

$$E_0 = \sum_{\mathbf{k}=0}^{\infty} \frac{\omega_{\mathbf{k}}}{2} \quad (5)$$

# Efecto Casimir

- El siempre interesante efecto Casimir.
- En Lagrangiano que representa la electrodinámica es

$$\mathcal{L}_{EM} = -\frac{1}{4}F_{\mu\nu}F^{\mu\nu} - eJ^\mu A_\mu \quad (4)$$

Si el fotón **no posee masa**  $\Rightarrow$  dos polarizaciones.

- La energía del estado fundamental es

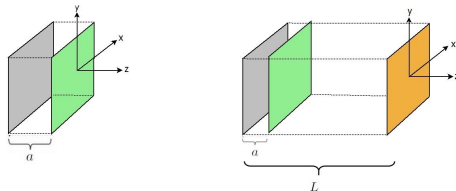
$$E_0 = \sum_{\mathbf{k}=0}^{\infty} \frac{\omega_{\mathbf{k}}}{2} \Rightarrow \infty \quad (5)$$

**La energía es INFINITA.**



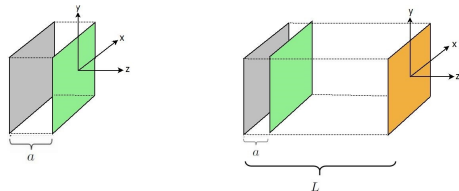
# Efecto Casimir

- H.G. Casimir (H.G. Casimir, *Koninkl. Ned. Akad. Wetenschap. Proc.*,1948) formuló un experimento ideal para calcular la energía del estado fundamental entre dos placas conductoras perfectas



# Efecto Casimir

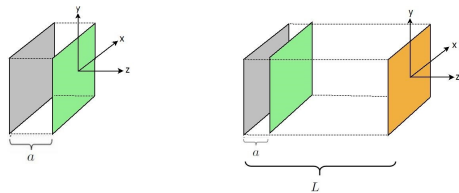
- H.G. Casimir (H.G. Casimir, *Koninkl. Ned. Akad. Wetenschap. Proc.*,1948) formuló un experimento ideal para calcular la energía del estado fundamental entre dos placas conductoras perfectas



- Experimento idealizado, con  $L \gg a$  y placas conductoras perfectamente planas.

# Efecto Casimir

- H.G. Casimir (H.G. Casimir, *Koninkl. Ned. Akad. Wetenschap. Proc.*, 1948) formuló un experimento ideal para calcular la energía del estado fundamental entre dos placas conductoras perfectas



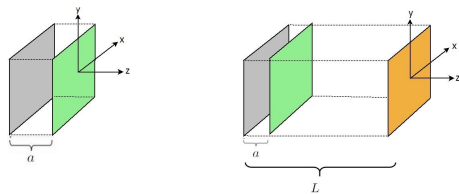
- Experimento idealizado, con  $L \gg a$  y placas conductoras perfectamente planas.
- La diferencia de energía entre las placas por unidad de área es

$$\Delta U = E_0 - E_L = -\frac{\pi^2}{720a^3}, \quad (6)$$

con  $\hbar = c = 1$ .

# Efecto Casimir

- H.G. Casimir (H.G. Casimir, *Koninkl. Ned. Akad. Wetenschap. Proc.*, 1948) formuló un experimento ideal para calcular la energía del estado fundamental entre dos placas conductoras perfectas

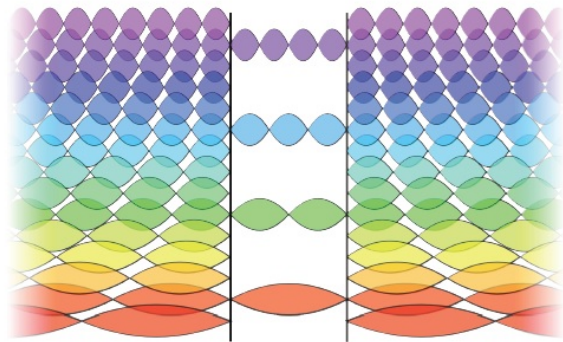


- Experimento idealizado, con  $L \gg a$  y placas conductoras perfectamente planas.
- Y así la fuerza por unidad de área es

$$\Rightarrow F = -\frac{\partial(\Delta U)}{\partial a} = -\frac{\pi^2}{240a^4}, \quad (6)$$

con  $\hbar = c = 1$ .

# Efecto Casimir



**Figura:** Representación esquemática del efecto Casimir.

# Efecto Casimir para un fotón masivo

- En Lagrangiano de Proca (W.Greiner, *Field Quantization*, 1996) representa esta teoría siendo este el siguiente

$$\mathcal{L}_{\text{Proca}} = -\frac{1}{4}F_{\mu\nu}F^{\mu\nu} + \frac{m^2}{2}A_\mu A^\mu - eJ^\mu A_\mu \quad (7)$$

Si esta vez suponemos que el fotón posee masa  $\Rightarrow$  3 polarizaciones.

# Efecto Casimir para un fotón masivo

- En Lagrangiano de Proca (W.Greiner, *Field Quantization*, 1996) representa esta teoría siendo este el siguiente

$$\mathcal{L}_{\text{Proca}} = -\frac{1}{4}F_{\mu\nu}F^{\mu\nu} + \frac{m^2}{2}A_\mu A^\mu - eJ^\mu A_\mu \quad (7)$$

Si esta vez suponemos que el fotón posee masa  $\Rightarrow$  3 polarizaciones.

- La energía del estado fundamental es

$$E_0 = \sum_{\mathbf{k}=0}^{\infty} \frac{\tilde{\omega}_{\mathbf{k}}}{2}, \quad (8)$$

# Efecto Casimir para un fotón masivo

- En Lagrangiano de Proca (W.Greiner, *Field Quantization*, 1996) representa esta teoría siendo este el siguiente

$$\mathcal{L}_{\text{Proca}} = -\frac{1}{4}F_{\mu\nu}F^{\mu\nu} + \frac{m^2}{2}A_\mu A^\mu - eJ^\mu A_\mu \quad (7)$$

Si esta vez suponemos que el fotón posee masa  $\Rightarrow$  3 polarizaciones.

- La energía del estado fundamental es

$$E_0 = \sum_{\mathbf{k}=0}^{\infty} \frac{\tilde{\omega}_{\mathbf{k}}}{2}, \quad (8)$$



# Efecto Casimir para un fotón masivo

- En Lagrangiano de Proca (W.Greiner, *Field Quantization*, 1996) representa esta teoría siendo este el siguiente

$$\mathcal{L}_{\text{Proca}} = -\frac{1}{4}F_{\mu\nu}F^{\mu\nu} + \frac{m^2}{2}A_\mu A^\mu - eJ^\mu A_\mu \quad (7)$$

Si esta vez suponemos que el fotón posee masa  $\Rightarrow$  3 polarizaciones.

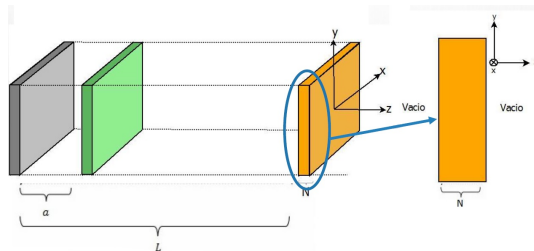
- La energía del estado fundamental es

$$E_0 = \sum_{\mathbf{k}=0}^{\infty} \frac{\tilde{\omega}_{\mathbf{k}}}{2}, \quad (8)$$

- donde  $\tilde{\omega}_{\mathbf{k}} = \sqrt{\mathbf{k}^2 + m^2}$ , entonces sigue siendo infinita.

# Efecto Casimir para un fotón masivo

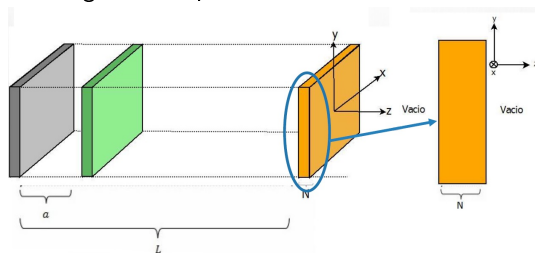
- Barton and Dombey (G. Barton & N. Dombey, *Nature*, 1984) consideraron el siguiente experimento idealizado



**Figura:** Configuración espacial del experimento idealizado.

# Efecto Casimir para un fotón masivo

- Barton and Dombey (G. Barton & N. Dombey, *Nature*, 1984) consideraron el siguiente experimento idealizado



**Figura:** Configuración espacial del experimento idealizado.

- El Hamiltoniano se puede dividir en

$$\mathcal{H}_{\text{Proca}} = \mathcal{H}_{\text{MT}} + \mathcal{H}_{\text{ML}}$$

# Efecto Casimir para un fotón masivo

- Entonces las contribuciones a la energía por unidad de área de cada modos son:

$$\Delta U_{\text{MT}} = -\frac{1}{a^3} \left[ \frac{\pi^2}{720} - \frac{(am)^2}{48} + \frac{(am)^3}{12\pi} - \frac{(am)^4}{16\pi^2} \log\left(\frac{1}{2am}\right) - \frac{(am)^4}{16\pi^2} \left( \log(4\pi) - \gamma + \frac{3}{4} \right) \right],$$

$$\Delta U_{\text{ML}} = \frac{(am)^4}{32\pi} \log\left(\frac{eN}{2a}\right).$$

# Efecto Casimir para un fotón masivo

- Así la fuerza por unidad de área será

$$F = -\frac{1}{a^4} \left[ \frac{\pi^2}{240} + \frac{(am)^2}{24} + \frac{(am)^4}{16\pi^2} \log\left(\frac{1}{2am}\right) \right. \\ \left. + \frac{(am)^4}{16\pi^2} + \frac{(am)^4}{16\pi^2} \left( \log(4\pi) - \gamma + \frac{3}{4} \right) + \frac{(am)^4}{32\pi} \log\left(\frac{eN}{2a}\right) \right] \quad (9)$$

# Motivación

- ¡TENEMOS UNA IDEA!



# Motivación

- ¡TENEMOS UNA IDEA!



- Si se asume que el fotón oculto se puede mezclar con el fotón usual, entonces:

# Motivación

- ¡TENEMOS UNA IDEA!



- Si se asume que el fotón oculto se puede mezclar con el fotón usual, entonces:
  - ¿Cómo cambia el efecto Casimir?
  - ¿Qué consecuencias físicas produce en el efecto Casimir?
  - ¿Se podrá decir algo sobre los fotones ocultos?



# Filosofía del problema

Encontrar el estado fundamental para una teoría que contenga fotones ocultos

# Filosofía del problema

Encontrar el estado fundamental para una teoría que contenga  
fotones ocultos



Considerar experimento idealizado

# Filosofía del problema

Encontrar el estado fundamental para una teoría que contenga fotones ocultos



Considerar experimento idealizado



Buscar expresión "finita" para la energía

# Filosofía del problema

Encontrar el estado fundamental para una teoría que contenga fotones ocultos



Considerar experimento idealizado



Buscar expresión "finita" para la energía



**Efecto Casimir para fotones Ocultos**

# Hamiltonianos

- Para encontrar el estado fundamental se necesita el Hamiltoniano correcto de la teoría.

# Hamiltonianos

- Para encontrar el estado fundamental se necesita el Hamiltoniano correcto de la teoría.
- Se utiliza el método de Dirac para cada representación. Entonces se obtiene para la base tilde

$$\tilde{\mathcal{H}} = \int d^3x \left[ \frac{1}{2} \left( B_{\tilde{A}}^2 + E_{\tilde{A}}^2 \right) + \frac{1}{2} \left( B_{\tilde{X}}^2 + E_{\tilde{X}}^2 \right) + \frac{1}{2m^2} (\partial_i E_{\tilde{X}}^i)^2 + \frac{m^2}{2} \tilde{X}_i \tilde{X}^i \right], \quad (10)$$

# Hamiltonianos

- Para encontrar el estado fundamental se necesita el Hamiltoniano correcto de la teoría.
- Se utiliza el método de Dirac para cada representación. Entonces se obtiene para la base tilde

$$\tilde{\mathcal{H}} = \int d^3x \left[ \frac{1}{2} (B_{\tilde{A}}^2 + E_{\tilde{A}}^2) + \frac{1}{2} (B_{\tilde{X}}^2 + E_{\tilde{X}}^2) + \frac{1}{2m^2} (\partial_i E_{\tilde{X}}^i)^2 + \frac{m^2}{2} \tilde{X}_i \tilde{X}^i \right], \quad (10)$$

y para la base barra se obtiene

$$\begin{aligned} \bar{\mathcal{H}} = & \int d^3x \left[ \frac{1}{2} (B_{\bar{A}}^2 + E_{\bar{A}}^2) + \frac{1}{2} (B_{\bar{X}}^2 + E_{\bar{X}}^2) \right. \\ & + \frac{m^2 \cos^2 \chi}{2} \bar{X}_i \bar{X}^i + \frac{m^2 \sin^2 \chi}{2} \bar{A}_i \bar{A}^i + m^2 \cos \chi \sin \chi \bar{A}_i \bar{X}^i \\ & \left. + \frac{1}{2m^2 \cos^2 \chi} (\partial_i \Pi_{\bar{X}}^i)^2 \right] \quad (11) \end{aligned}$$

# Hamiltonianos

- Para encontrar el estado fundamental se necesita el Hamiltoniano correcto de la teoría.
- Se utiliza el método de Dirac para cada representación. Entonces se obtiene para la base tilde

$$\tilde{\mathcal{H}} = \int d^3x \left[ \frac{1}{2} \left( B_{\tilde{A}}^2 + E_{\tilde{A}}^2 \right) + \frac{1}{2} \left( B_{\tilde{X}}^2 + E_{\tilde{X}}^2 \right) + \frac{1}{2m^2} (\partial_i E_{\tilde{X}}^i)^2 + \frac{m^2}{2} \tilde{X}_i \tilde{X}^i \right], \quad (10)$$

y para la base barra se obtiene

$$\bar{\mathcal{H}} = \bar{\mathcal{H}}_I + \bar{\mathcal{H}}_{NI} \quad (11)$$



# Hamiltonianos

- Para encontrar el estado fundamental se necesita el Hamiltoniano correcto de la teoría.
- Se utiliza el método de Dirac para cada representación. Entonces se obtiene para la base tilde

$$\tilde{\mathcal{H}} = \int d^3x \left[ \frac{1}{2} \left( B_{\tilde{A}}^2 + E_{\tilde{A}}^2 \right) + \frac{1}{2} \left( B_{\tilde{X}}^2 + E_{\tilde{X}}^2 \right) + \frac{1}{2m^2} (\partial_i E_{\tilde{X}}^i)^2 + \frac{m^2}{2} \tilde{X}_i \tilde{X}^i \right], \quad (10)$$

y para la base barra se obtiene

$$\bar{\mathcal{H}} = \bar{\mathcal{H}}_I + \bar{\mathcal{H}}_{NI} \quad (11)$$

- Entonces se considera el experimento idealizado y se aplican condiciones de borde sobre el campo  $\bar{A}_\mu$ .

# Programa de acción

$$\tilde{\mathcal{H}}(\tilde{A}, \tilde{X})$$



- Ambos campos acoplados a la corriente
- Cuantización canónica



$$\tilde{\mathcal{H}}_I(\tilde{A}, \tilde{X})$$



$$\bar{\mathcal{H}}(\bar{A}, \bar{X})$$



- Un solo campo acoplado a la corriente
- C.B. sobre  $\bar{A}$



$$\bar{\mathcal{H}} = \bar{\mathcal{H}}_I + \bar{\mathcal{H}}_{NI}$$



$$\bar{\mathcal{H}} = \bar{\mathcal{H}}_I(\bar{A}, \bar{A}\bar{X})$$

# Efecto Casimir para fotones ocultos

- El Hamiltoniano interactuante actuando sobre el estado fundamental es

$$\begin{aligned}
 \langle 0 | \tilde{\mathcal{H}}_I | 0 \rangle = E_0 &= \cos^2 \chi \sum_k \sum_\lambda \left[ \frac{\omega_k}{2} + \frac{m^2 \sin^2 \chi \cos^2 \chi}{4\omega_k} \right] \\
 &+ \sin^2 \chi \sum_k \sum_\Lambda \left[ \frac{\tilde{\omega}_k}{2} - \frac{m^2}{4\tilde{\omega}_k} \right] - \sin^2 \chi \sum_k \frac{\mathbf{k}^2}{\tilde{\omega}_k} \\
 &+ \langle 0 | \tilde{\mathcal{H}}_I(\tilde{A}, \tilde{X}, \tilde{A}^*, \tilde{X}^*) | 0 \rangle. \tag{12}
 \end{aligned}$$

# Efecto Casimir para fotones ocultos

- El Hamiltoniano interactuante actuando sobre el estado fundamental es

$$\begin{aligned}
 \langle 0 | \tilde{\mathcal{H}}_I | 0 \rangle = E_0 &= \cos^2 \chi \sum_k \sum_\lambda \left[ \frac{\omega_k}{2} + \frac{m^2 \sin^2 \chi \cos^2 \chi}{4\omega_k} \right] \\
 &+ \sin^2 \chi \sum_k \sum_\Lambda \left[ \frac{\tilde{\omega}_k}{2} - \frac{m^2}{4\tilde{\omega}_k} \right] - \sin^2 \chi \sum_k \frac{\mathbf{k}^2}{\tilde{\omega}_k} \\
 &+ \langle 0 | \tilde{\mathcal{H}}_I(\tilde{A}, \tilde{X}, \tilde{A}^*, \tilde{X}^*) | 0 \rangle. \tag{12}
 \end{aligned}$$

- Considerando el experimento idealizado, entonces se define la diferencia de energía por unidad de área total como

$$\Delta U = U_a - U_\infty = \Delta U_T + \Delta U_L, \tag{13}$$

donde  $U_a = E_0 - E_a$  y  $U_\infty = E_0 - E_L$ .

# Efecto Casimir para fotones ocultos

- La contribución de cada parte es

$$\begin{aligned}
 E_0 = & \boxed{\cos^2 \chi \sum_k \sum_\lambda \left[ \frac{\omega_k}{2} + \frac{m^2 \sin^2 \chi \cos^2 \chi}{4\omega_k} \right]} \\
 & + \sin^2 \chi \sum_k \sum_\Lambda \left[ \frac{\tilde{\omega}_k}{2} - \frac{m^2}{4\tilde{\omega}_k} \right] - \sin^2 \chi \sum_k \frac{\mathbf{k}^2}{\tilde{\omega}_k} \\
 & + \langle 0 | \tilde{\mathcal{H}}_I(\tilde{A}, \tilde{X}, \tilde{A}^*, \tilde{X}^*) | 0 \rangle. \tag{14}
 \end{aligned}$$

La contribución a la diferencia de energía de la parte con relación de dispersión no masiva es

$$\Delta U_{T,\omega} = -\cos^2 \chi \left( \frac{\pi^2}{720a^3} - \frac{m^2 \sin^2 \chi}{48a} \right). \tag{15}$$

# Efecto Casimir para fotones ocultos

- La contribución de cada parte es

$$\begin{aligned}
 E_0 = & \cos^2 \chi \sum_k \sum_\lambda \left[ \frac{\omega_k}{2} + \frac{m^2 \sin^2 \chi \cos^2 \chi}{4\omega_k} \right] \\
 & + \boxed{\sin^2 \chi \sum_k \sum_\Lambda \left[ \frac{\tilde{\omega}_k}{2} - \frac{m^2}{4\tilde{\omega}_k} \right]} - \sin^2 \chi \sum_k \frac{\mathbf{k}^2}{\tilde{\omega}_k} \\
 & + \langle 0 | \tilde{\mathcal{H}}_I(\tilde{A}, \tilde{X}, \tilde{A}^*, \tilde{X}^*) | 0 \rangle.
 \end{aligned} \tag{14}$$

La contribución a la diferencia de energía de la parte con relación de dispersión masiva es

$$\begin{aligned}
 \Delta U_{T, \tilde{\omega}}^{\text{Proca}} = & -\sin^2 \chi \left( \frac{\pi^2}{720a^3} - \frac{m^3}{24\pi} + \frac{1}{16} \frac{am^4}{\pi^2} \log \left( \frac{1}{2am} \right) \right. \\
 & \left. + \frac{1}{16} \frac{am^4}{\pi^2} \left( \log(4\pi) - \gamma + \frac{1}{4} \right) \right).
 \end{aligned} \tag{15}$$

# Efecto Casimir para fotones ocultos

- La contribución de cada parte es

$$\begin{aligned}
 E_0 = & \cos^2 \chi \sum_k \sum_\lambda \left[ \frac{\omega_k}{2} + \frac{m^2 \sin^2 \chi \cos^2 \chi}{4\omega_k} \right] \\
 & + \boxed{\sin^2 \chi \sum_k \sum_\Lambda \left[ \frac{\tilde{\omega}_k}{2} - \frac{m^2}{4\tilde{\omega}_k} \right]} - \sin^2 \chi \sum_k \frac{\mathbf{k}^2}{\tilde{\omega}_k} \\
 & + \langle 0 | \tilde{\mathcal{H}}_I(\tilde{A}, \tilde{X}, \tilde{A}^*, \tilde{X}^*) | 0 \rangle. \tag{14}
 \end{aligned}$$

La contribución a la diferencia de energía de la parte con relación de dispersión masiva es

$$\Delta U_{L, \tilde{\omega}}^{\text{Proca}} = \sin^2 \chi \left( \frac{am^4}{32\pi} \log \left( \frac{eN}{2a} \right) + \frac{m^5 a N}{32\pi} \right). \tag{15}$$

# Efecto Casimir para fotones ocultos

- La contribución de cada parte es

$$\begin{aligned}
 E_0 = & \cos^2 \chi \sum_k \sum_\lambda \left[ \frac{\omega_k}{2} + \frac{m^2 \sin^2 \chi \cos^2 \chi}{4\omega_k} \right] \\
 & + \sin^2 \chi \sum_k \sum_\Lambda \left[ \frac{\tilde{\omega}_k}{2} - \frac{m^2}{4\tilde{\omega}_k} \right] - \boxed{\sin^2 \chi \sum_k \frac{\mathbf{k}^2}{\tilde{\omega}_k}} \\
 & + \langle 0 | \tilde{\mathcal{H}}_I(\tilde{A}, \tilde{X}, \tilde{A}^*, \tilde{X}^*) | 0 \rangle.
 \end{aligned} \tag{14}$$

La contribución a la diferencia de energía de la parte extra es

$$\begin{aligned}
 \Delta U_{T, \tilde{\omega}}^e = & \sin^2 \chi \left( -\frac{\pi^2}{1440a^3} - \frac{m^2}{96a} - \frac{m^3}{24\pi} - \frac{3}{32} \frac{am^4}{\pi} \log\left(\frac{1}{2am}\right) \right. \\
 & \left. - \frac{3}{32} \frac{am^4}{\pi^2} \left( \log(4\pi) - \gamma + \frac{5}{12} \right) \right).
 \end{aligned} \tag{15}$$



# Efecto Casimir para fotones ocultos

- La contribución de cada parte es

$$\begin{aligned}
 E_0 = & \cos^2 \chi \sum_k \sum_\lambda \left[ \frac{\omega_k}{2} + \frac{m^2 \sin^2 \chi \cos^2 \chi}{4\omega_k} \right] \\
 & + \sin^2 \chi \sum_k \sum_\Lambda \left[ \frac{\tilde{\omega}_k}{2} - \frac{m^2}{4\tilde{\omega}_k} \right] - \boxed{\sin^2 \chi \sum_k \frac{\mathbf{k}^2}{\tilde{\omega}_k}} \\
 & + \langle 0 | \tilde{\mathcal{H}}_I(\tilde{A}, \tilde{X}, \tilde{A}^*, \tilde{X}^*) | 0 \rangle.
 \end{aligned} \tag{14}$$

La contribución a la diferencia de energía de la parte extra es

$$\Delta U_{L, \tilde{\omega}}^e = \sin^2 \chi \left( \frac{am^4}{32\pi^2} \log \left( \frac{eN}{2a} \right) + \frac{m^5 a N}{32\pi} \right). \tag{15}$$

# Resultados

- Finalmente la fuerza por unidad de área para el efecto Casimir con fotones ocultos es

$$\mathcal{F} = -\frac{\pi^2}{240a^4} + \sin^2 \chi \left[ \frac{\pi^2}{480a^4} + \frac{m^2}{96a^2} (2 \cos^2 \chi + 1) - \frac{1}{32} \frac{m^4}{\pi^2} \log \left( \frac{1}{2am} \right) - \frac{1}{32} \frac{m^4}{\pi^2} \left( \log(4\pi) - \gamma - \frac{1}{4} \right) \right] \quad (16)$$

# Resultados

- Finalmente la fuerza por unidad de área para el efecto Casimir con fotones ocultos es

$$\mathcal{F} = -\frac{\pi^2}{240a^4} + \sin^2 \chi \left[ \frac{\pi^2}{480a^4} + \frac{m^2}{96a^2} (2 \cos^2 \chi + 1) - \frac{1}{32} \frac{m^4}{\pi^2} \log \left( \frac{1}{2am} \right) - \frac{1}{32} \frac{m^4}{\pi^2} \left( \log(4\pi) - \gamma - \frac{1}{4} \right) \right] \quad (16)$$

- Problemas con  $m = 0$ . Se redefine  $c \rightarrow c'(1 + \sin^2 \chi/2)$  y así se obtiene

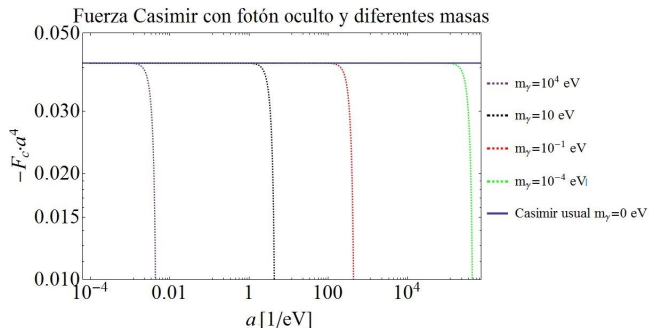
$$\mathcal{F} = -\frac{\pi^2}{240a^4} + \sin^2 \chi \left[ \frac{m^2}{96a^2} (2 \cos^2 \chi + 1) - \frac{1}{32} \frac{m^4}{\pi^2} \log \left( \frac{1}{2am} \right) - \frac{1}{32} \frac{m^4}{\pi^2} \left( \log(4\pi) - \gamma - \frac{1}{4} \right) \right]. \quad (17)$$

# Resultados

- Los resultados se muestran en los gráficos siguientes

# Resultados

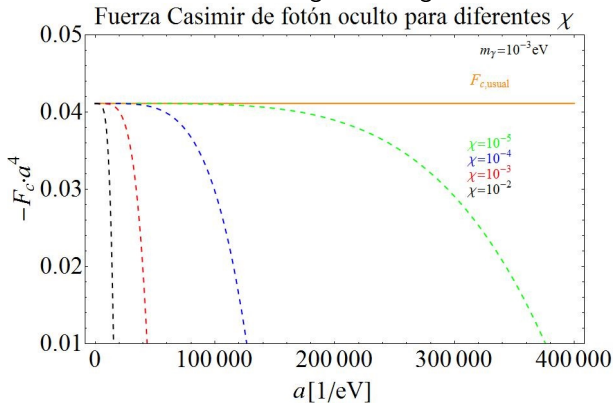
- Los resultados se muestran en los gráficos siguientes



**Figura:** Comparación entre la fuerza de Casimir usual y la fuerza de Casimir con fotones ocultos para diferentes masas en función de la distancia  $a$  entre las placas.

# Resultados

- Los resultados se muestran en los gráficos siguientes



**Figura:** Comparación entre la fuerza de Casimir usual y la fuerza de Casimir con fotones ocultos para diferentes valores de  $\chi$  en función de la distancia  $a$  entre las placas.

# Experimento no idealizado

- Se toma como base un experimento realista del efecto Casimir (U.Mohideen & A. Roy, *Phys.Rev.Lett*,1998).

# Experimento no idealizado

- Se toma como base un experimento realista del efecto Casimir (U. Mohideen & A. Roy, *Phys.Rev.Lett*,1998).
- Utilizando el PFT (Proximity Force Theorem) donde se utiliza una esfera conductora y una placa conductora. La fuerza por unidad de área corregida es

$$\mathcal{F} = 2\pi R\Delta U, \quad (18)$$

donde  $R$  es el radio de la esfera.



## Experimento no idealizado

- Se toma como base un experimento realista del efecto Casimir (U. Mohideen & A. Roy, *Phys.Rev.Lett*,1998).
- Utilizando el PFT (Proximity Force Theorem) donde se utiliza una esfera conductora y una placa conductora. La fuerza por unidad de área corregida es

$$\mathcal{F} = 2\pi R\Delta U, \quad (18)$$

donde  $R$  es el radio de la esfera.

- Para el resultado obtenido para los fotones ocultos la fuerza corregida es

$$\begin{aligned} \mathcal{F}_{corr} = & -\frac{\pi^3 R}{360a^3} + \chi^2 \left[ \frac{m^2 \pi R}{16a} + \frac{m^3 R}{6} + \frac{1}{16} \frac{am^4 R}{\pi} \log\left(\frac{1}{2am}\right) \right. \\ & \left. + \frac{1}{16} \frac{am^4 R}{\pi} \left( \log(4\pi) - \gamma + \frac{3}{4} \right) \right] \end{aligned} \quad (19)$$

## Experimento no idealizado

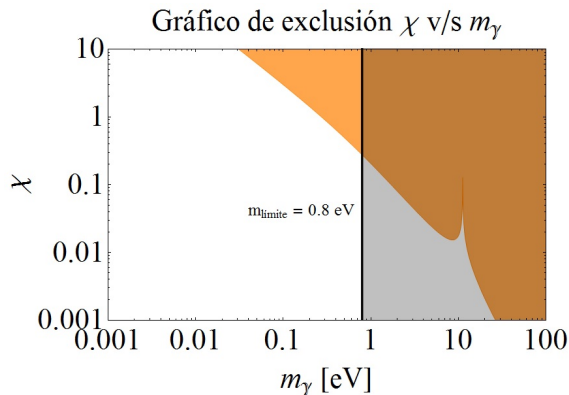
- Despejando  $\chi$  en función de la masa  $m$  de la ecuación anterior, esto es

$$\chi(m) = \sqrt{\left| \frac{F - F_0}{f(m, a)} \right|}, \quad (20)$$

donde  $F = F_{exp} \pm \sigma$ ,  $F_0 = -\frac{\pi^3 R}{360a^3}$  y  $\sigma = 6,2$  pN es el error estadístico del experimento.

# Experimento no idealizado

- El gráfico de exclusión obtenido es



**Figura:** Gráfico de exclusión del espacio de parámetros  $\chi$  y la masa  $m_\gamma$ .

# Conclusiones y trabajo futuro

- Es posible encontrar dos marcos de representación para trabajar con fotones ocultos.

# Conclusiones y trabajo futuro

- Es posible encontrar dos marcos de representación para trabajar con fotones ocultos.
- Se logró encontrar una expresión del efecto Casimir con fotones ocultos.

# Conclusiones y trabajo futuro

- Es posible encontrar dos marcos de representación para trabajar con fotones ocultos.
- Se logró encontrar una expresión del efecto Casimir con fotones ocultos.
- Primer trabajo en el que se debe redefinir la constante  $c$ .

# Conclusiones y trabajo futuro

- Es posible encontrar dos marcos de representación para trabajar con fotones ocultos.
- Se logró encontrar una expresión del efecto Casimir con fotones ocultos.
- Primer trabajo en el que se debe redefinir la constante  $c$ .
- Se obtuvo una región de exclusión, sin embargo esta ya está acotada por otros experimentos.

# Conclusiones y trabajo futuro

- Es posible encontrar dos marcos de representación para trabajar con fotones ocultos.
- Se logró encontrar una expresión del efecto Casimir con fotones ocultos.
- Primer trabajo en el que se debe redefinir la constante  $c$ .
- Se obtuvo una región de exclusión, sin embargo esta ya está acotada por otros experimentos.
- Trabajo futuro:
  - Estudiar el caso con el Lagrangiano de Stuckelberg.



# Conclusiones y trabajo futuro

- Es posible encontrar dos marcos de representación para trabajar con fotones ocultos.
- Se logró encontrar una expresión del efecto Casimir con fotones ocultos.
- Primer trabajo en el que se debe redefinir la constante  $c$ .
- Se obtuvo una región de exclusión, sin embargo esta ya está acotada por otros experimentos.
- Trabajo futuro:
  - Estudiar el caso con el Lagrangiano de Stuckelberg.
  - Mejorar la redefinición de  $c$ .

# Conclusiones y trabajo futuro

- Es posible encontrar dos marcos de representación para trabajar con fotones ocultos.
- Se logró encontrar una expresión del efecto Casimir con fotones ocultos.
- Primer trabajo en el que se debe redefinir la constante  $c$ .
- Se obtuvo una región de exclusión, sin embargo esta ya está acotada por otros experimentos.
- Trabajo futuro:
  - Estudiar el caso con el Lagrangiano de Stuckelberg.
  - Mejorar la redefinición de  $c$ .
  - Los experimentos tipo efecto Casimir como posible fuente de estudio para fotones ocultos.

¡Gracias a todos!